

Г. И. Шипов

**ТЕОРИЯ
ФИЗИЧЕСКОГО
ВАКУУМА**

в популярном изложении

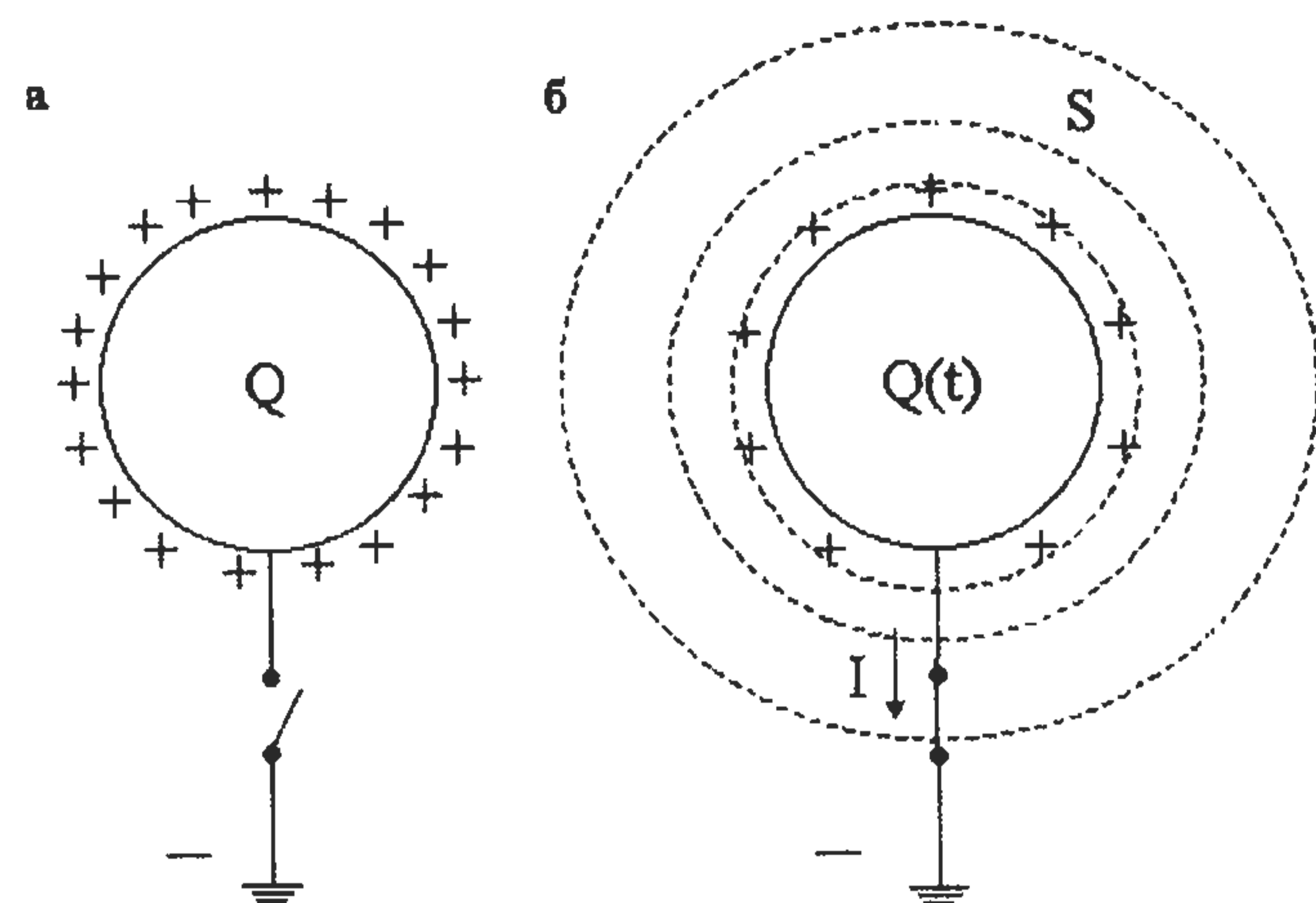


Рис. 29 а. В электродинамике с переменным зарядом ток течет по одному проводу.

опытах многих исследователей, а именно в опытах Р. Сигалова, Г. Николаева и др. Кроме того, в работах Г. Николаева впервые была установлена связь скалярного электромагнитного поля с действием продольных сил. Однако Г. Николаев никогда не связывал скалярное поле с переменным зарядом.

Однопроводная передача электрической энергии получила свое дальнейшее развитие в работах С.В. Авраменко. Вместо заряженной сферы С.В. Авраменко предложил использовать трансформатор Тесла, у которого вторичная обмотка на выходе из трансформатора имеет только один конец. Второй конец просто изолируется и остается внутри трансформатора. Если на первичную обмотку подать переменное напряжение с частотой несколько сот Герц, то на вторичной обмотке возникает переменный заряд, который порождает скалярное поле и продольную силу F_s . С.В. Авраменко ставит на одном проводе, выходящем из трансформатора, особое устройство – вилку Авраменко, которое из одного провода делает два. Если теперь подключить к двум проводам обычную нагрузку в виде лампочки или электромотора, то лампочка загорается, а мотор начинает вращаться за счет электроэнергии, которая передается по одному проводу 1 кВт мощности, разработана и запатентована во Всероссийском научно-исследовательском институте электрификации сель-

ского хозяйства. Там же ведутся работы по созданию однопроводной линии мощностью 5 и более кВт.

ТОРСИОННОЕ ИЗЛУЧЕНИЕ В ЭЛЕКТРОДИНАМИКЕ

Мы уже отметили, что нейтрино представляет собой торсионное излучение, которое, как это следует из решения уравнений вакуума, сопровождается выходом электрона из торсионной ямы, при распаде нейтрона. В связи с этим тотчас возникает вопрос, а не существует ли торсионное излучение при ускоренном движении электрона, порожденное его собственным спином?

Теория вакуума отвечает на этот вопрос положительно. Дело в том, что излученное ускоренным электроном поле связано с третьей производной координаты по времени. Теория вакуума позволяет учесть в классических уравнениях движения собственное вращение электрона его спин и показать, что поле излучения состоит из трех частей:

$$E_{rad} = E^e + T^e + T^s$$

Первая часть излучения электрона E^e порождена зарядом электрона, т.е. имеет чисто электромагнитную природу. Эта часть достаточно хорошо изучена современной физикой. Вторая часть T^e имеет смешанную электро-торсионную природу, поскольку порождена как зарядом электрона, так и его спином. Наконец, третья часть излучения T^s создана только спином электрона. Относительно последней можно сказать, что электрон во время ускоренного движения излучает нейтрино, но очень малых энергий!

Несколько лет назад в России были созданы и запатентованы приборы, подтверждающие теоретические предсказания теории вакуума относительно существования торсионного излучения в электродинамике, порожденного спином электрона. Эти приборы были названы *торсионными генераторами*.

На рис. 30 изображена принципиальная схема запатентованного торсионного генератора Акимова. Он состоит из цилиндрического конденсатора 3, на внутреннюю обкладку которого подается отрицательное напряжение, а на внешнюю положительное от источника постоянного напряжения 2. Внутри цилиндрического конденсатора помещен магнит, который является источником не только статического

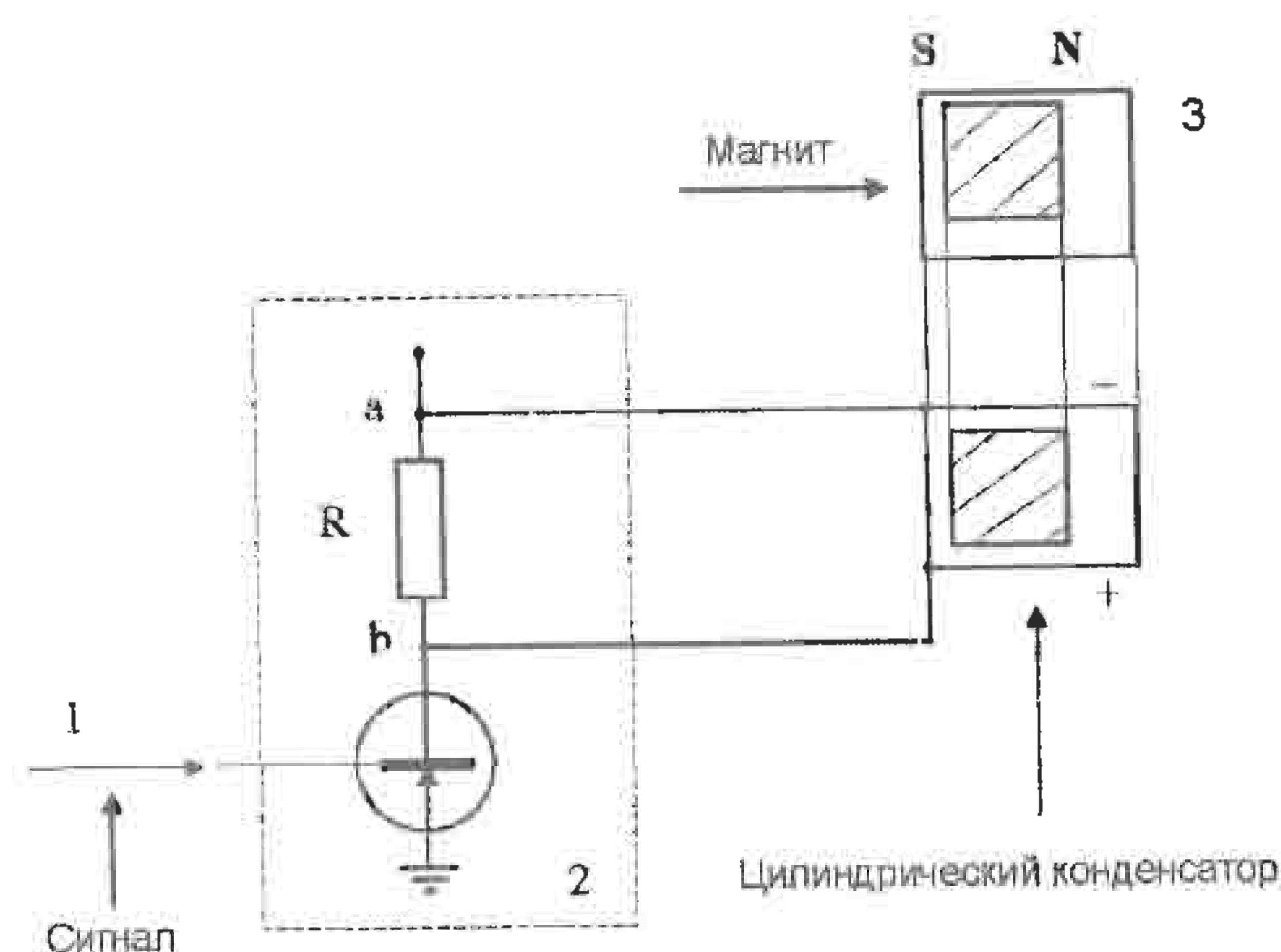


Рис. 30. Принципиальная схема торсионного генератора Акимова.

магнитного поля, но и статического торсионного поля. Это поле порождено (так же как и магнитное) суммарным спином электронов. Кроме того, между обкладками конденсатора происходит чисто спиновая (статическая нейтринная) поляризация вакуума, созданная разностью потенциалов. Для создания торсионного излучения заданной частоты на обкладки конденсатора подается переменное электромагнитное поле (управляющий сигнал) 1. Под действием переменного элект-

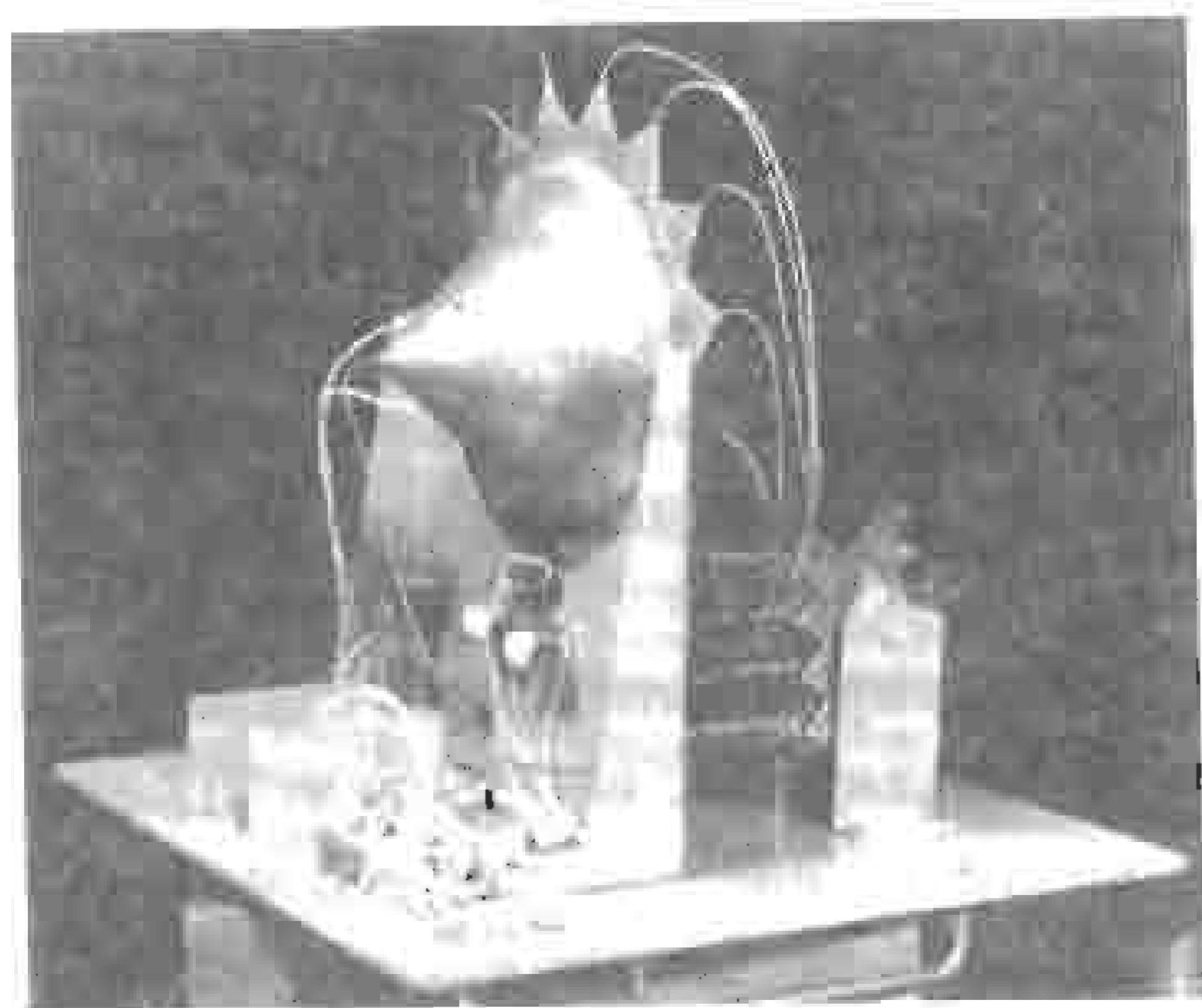


Рис. 31. Торсионный генератор Акимова.

ромагнитного поля 1 заданной частоты изменяется ориентация спинов (с такой же частотой) электронов внутри магнита и поляризованных спинов между обкладками конденсатора. В результате возникает динамическое торсионное излучение, обладающее высокой проникающей способностью.

На рис. 31 представлено внутреннее устройство генератора Акимова. С точки зрения электромагнетизма устройство торсионного генератора выглядит парадоксально, поскольку его элементная база строится совершенно на других принципах. Например, торсионный сигнал может передаваться по одному металлическому проводу.

Торсионные генераторы типа того, который изображен на рис. 31 широко используются в России в различных экспериментах и даже технологиях, о которых речь пойдет ниже.

НАЙДЕНА КВАНТОВАЯ ТЕОРИЯ, О КОТОРОЙ МЕЧТАЛ ЭЙНШТЕЙН

Современная квантовая теория материи также относится к классу индуктивных. По мнению нобелевского лауреата, создателя теории кварков М. Гелл-Манна, квантовая теория – это наука, которую мы умеем использовать, но не понимаем до конца. Подобного мнения придерживался и А. Эйнштейн, считая, что она неполна. Согласно А. Эйнштейну, «совершенная квантовая теория» будет найдена на пути совершенствования общей теории относительности, т.е. на пути построения дедуктивной теории. Именно такая квантовая теория следует из уравнений физического вакуума.

Основные отличия квантовой теории от классической состоят в том, что:

- а) теория содержит новую константу \hbar – постоянную Планка;
- б) существуют стационарные состояния и квантовый характер движения частиц;
- в) для описания квантовых явлений используется универсальная физическая величина – комплексная волновая функция, удовлетворяющая уравнению Шредингера и имеющая вероятностную трактовку;
- г) имеется корпускулярно-волновой дуализм и оптико-механическая аналогия;
- д) выполняется соотношение неопределенности Гейзенберга;
- е) возникает гильбертово пространство состояний.

ЭФФЕКТ ФОРМЫ

С древних времен было замечено, что форма предмета оказывает сильное воздействие на его восприятие. Этот факт относили к проявлению одной из сторон искусства в нашей жизни, придавая ему смысл субъективного эстетического видения реальности. Однако оказалось, что любой предмет создает вокруг себя «торсионный портрет», представляющий собой статическое (или динамическое) торсионное поле. Например, на *рис. 17* изображено статическое торсионное поле конуса, помещенного в вакуум. Это поле создается формой конуса.

Для того чтобы убедиться в существовании торсионного поля, создаваемого конусом, был проведен эксперимент, изображенный на *рис. 33*. В этом эксперименте перенасыщенный раствор соли KCl, находящийся в чашке Петри, был помещен над вершиной конуса. Одновременно такой же раствор находился в контрольной чашке, которая не подвергалась воздействию торсионного поля.



Рис. 33. Статическое торсионное поле конуса воздействует на процесс кристаллизации соли KCl

На *рис. 34* представлены результаты эксперимента. Кристаллы соли в контрольном образце крупные и величина их различна. В середине облученного образца, куда попало торсионное излучение, кристаллы мелкие и более однородны.

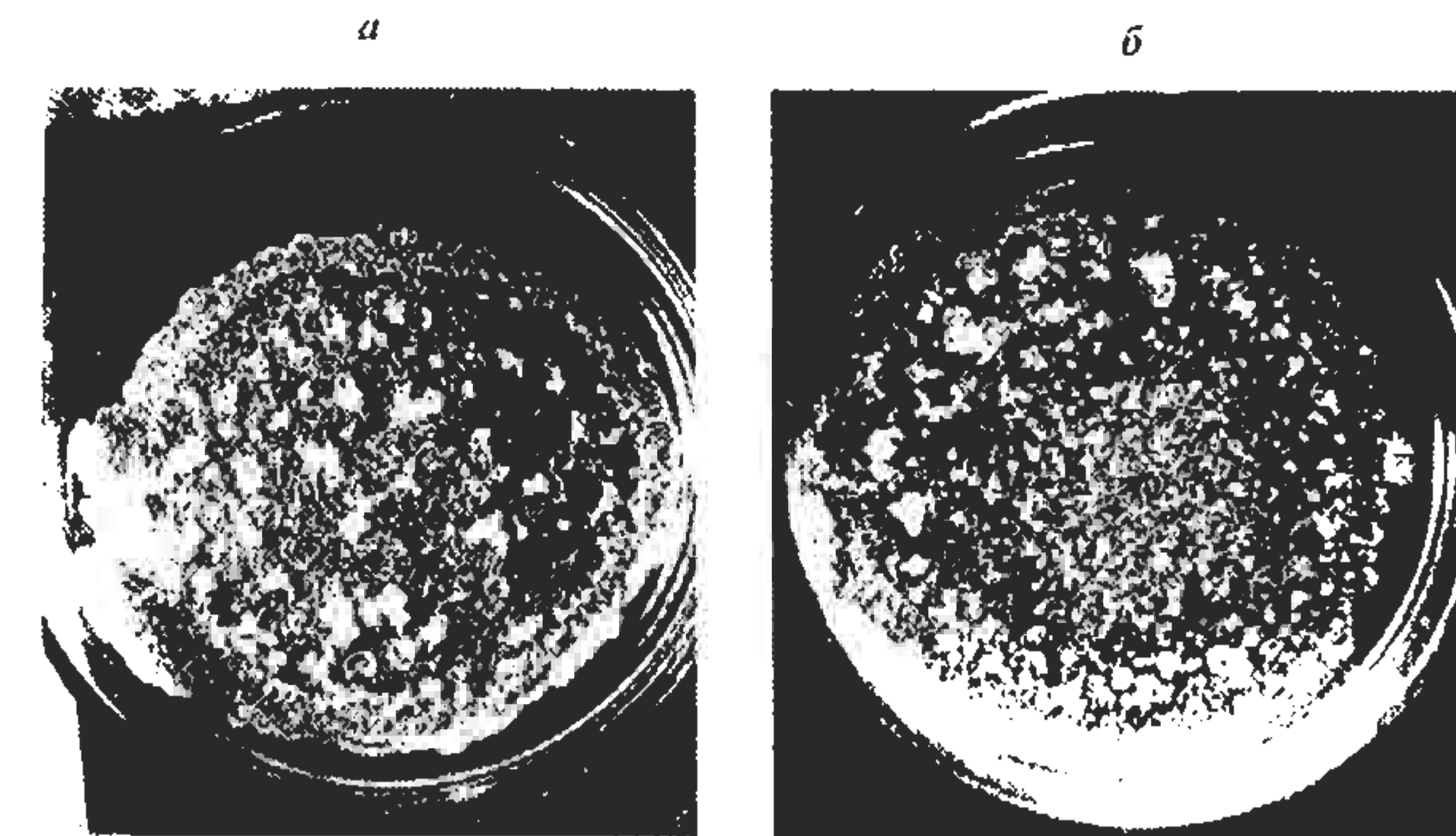


Рис. 34. Результат воздействия торсионного поля на процесс кристаллизации соли KCl: а) – контрольный образец; б) – образец облученный торсионным полем.

В настоящее время российским ученым В.Т. Шкатовым создан прибор для измерения статических торсионных полей плоских изображений: геометрических фигур, букв, слов и текстов, а так же фотографий людей. На *рис. 35* приведены результаты измерений статических торсионных полей некоторых плоских геометрических фигур, полученные с помощью торсиметра Шкатова.

№	1	2	3	4	5	6	7	8	9	10	11
Фиг.											
ТК	-8	-6	-1	-1	0.5	0	1	3	5	6	7

Рис. 35. Результаты измерения торсионного контраста (ТК) плоских геометрических фигур: равностороннего треугольника, обратной свастики, пятиконечной звезды, квадрата, квадрата с петлями, прямоугольника с золотым соотношением сторон (соотношение сторон, равное $D=1,618$), креста с золотым соотношением, шестиконечной звезды, креста с фракталиями (т.е. с частями, подобными целому), прямой свастики и окружности.

Была разработана специальная методика, позволяющая определять интенсивность и знак (левое или правое) торсионного поля фигуры. На *рис. 35* в нижней строке приведены значения измеренной торсионной контрастности, которая характеризует величину и знак торсионного поля фигуры по отношению к фону, в качестве которого выбиралось торсионное поле белого листа бумаги. Фигуры 5, 7, 8, 9, 10 и 11 создают правые торсионные поля, а 1, 2, 3, 4 левые.

облучает цилиндр в течении 30 мин, потребляя при этом мощность 30 мВт. За время 30 мин металл охлаждался с 1400°С до 800°С. Затем его вынимали из печи, охлаждали на воздухе, после чего слиток разрезался и производился его физико-химический анализ. Результаты анализа показали, что у облученного торсионным полем металла менялся шаг кристаллической решетки или металл имел аморфную структуру по всему объему слитка.

На рис. 38 и представлен образец олова, который был подвергнут торсионному облучению в расплавленном виде.

Важно отметить то обстоятельство, что торсионное излучение генератора прошло сквозь заземленную металлическую стенку толщиной 1,5 см и воздействовало на расплавленный металл. Этого невозможно добиться никакими электромагнитными полями.

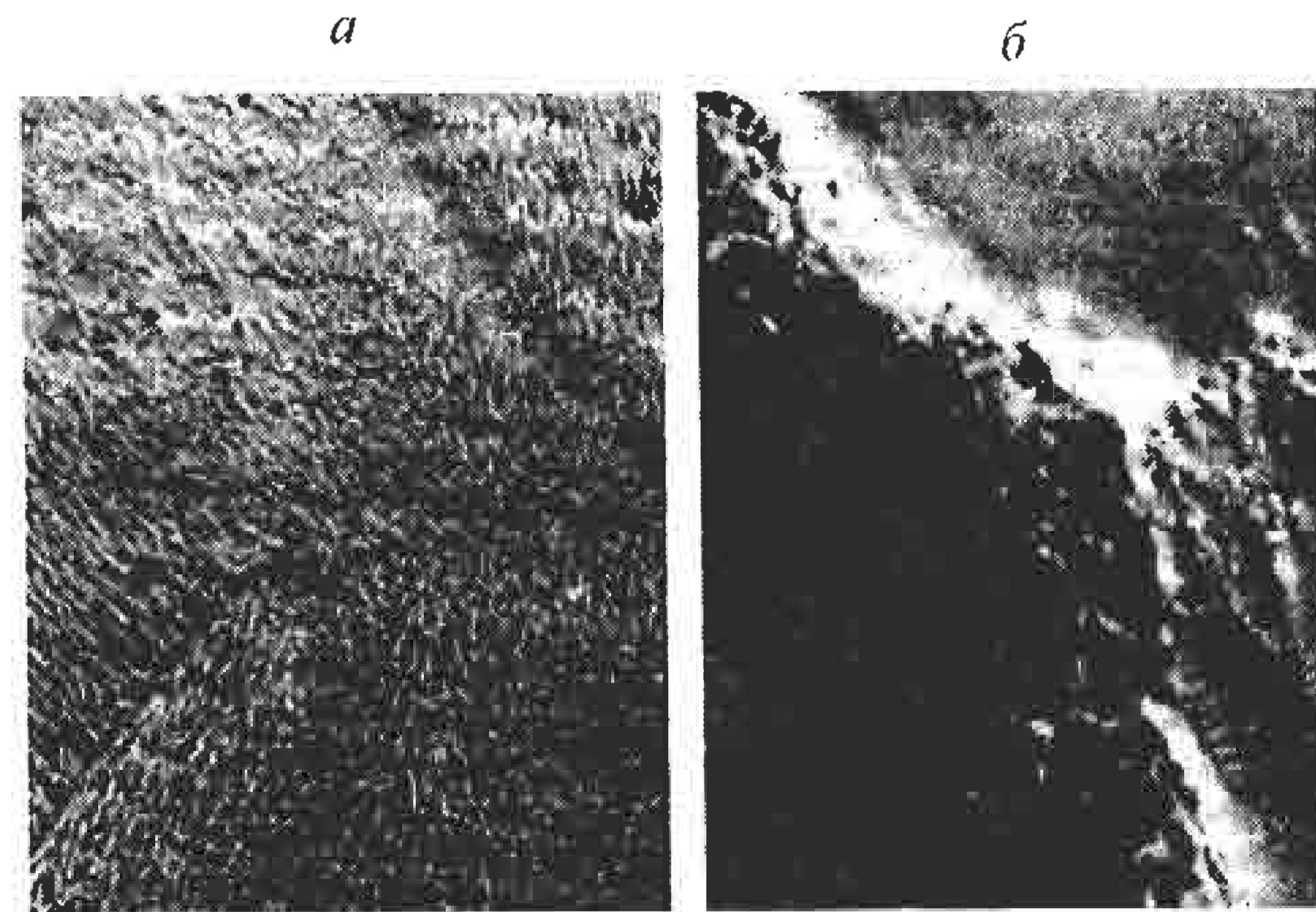


Рис. 39. Микроструктура литой меди (увел. 100): а) – контрольный образец; б) – после облучения торсионным полем.

На рис. 39 показано изменение структуры меди под действием торсионного излучения.

Таблица 4.

Характеристика состояния металла	Прочность (Пр.) кг/мм ²	$\frac{\Delta Pr \cdot 100\%}{Pr}$	Пластичность (Пл.) кг/мм ²	$\frac{\Delta Pl \cdot 100\%}{Pl}$
Контрольная плавка	7.1-7.3	12-14	13.2-13.4	21-22
Обработка торсионным полем	6.6-7.4	21-24	15.6-16.7	27-31

Воздействие торсионного излучения на расплав меди повышает прочность и пластичность металла. В табл. 4 приведены сравнительные данные исследования пластичности и прочности меди после торсионного воздействия.

ВОЗДЕЙСТВИЕ ТОРСИОННЫХ ПОЛЕЙ НА ВОДУ И РАСТЕНИЯ

Одним из источников статического торсионного поля является постоянный магнит. Действительно, собственное вращение электронов внутри намагниченного ферромагнетика порождает суммарное магнитное и торсионное поле магнита (см. рис. 40).

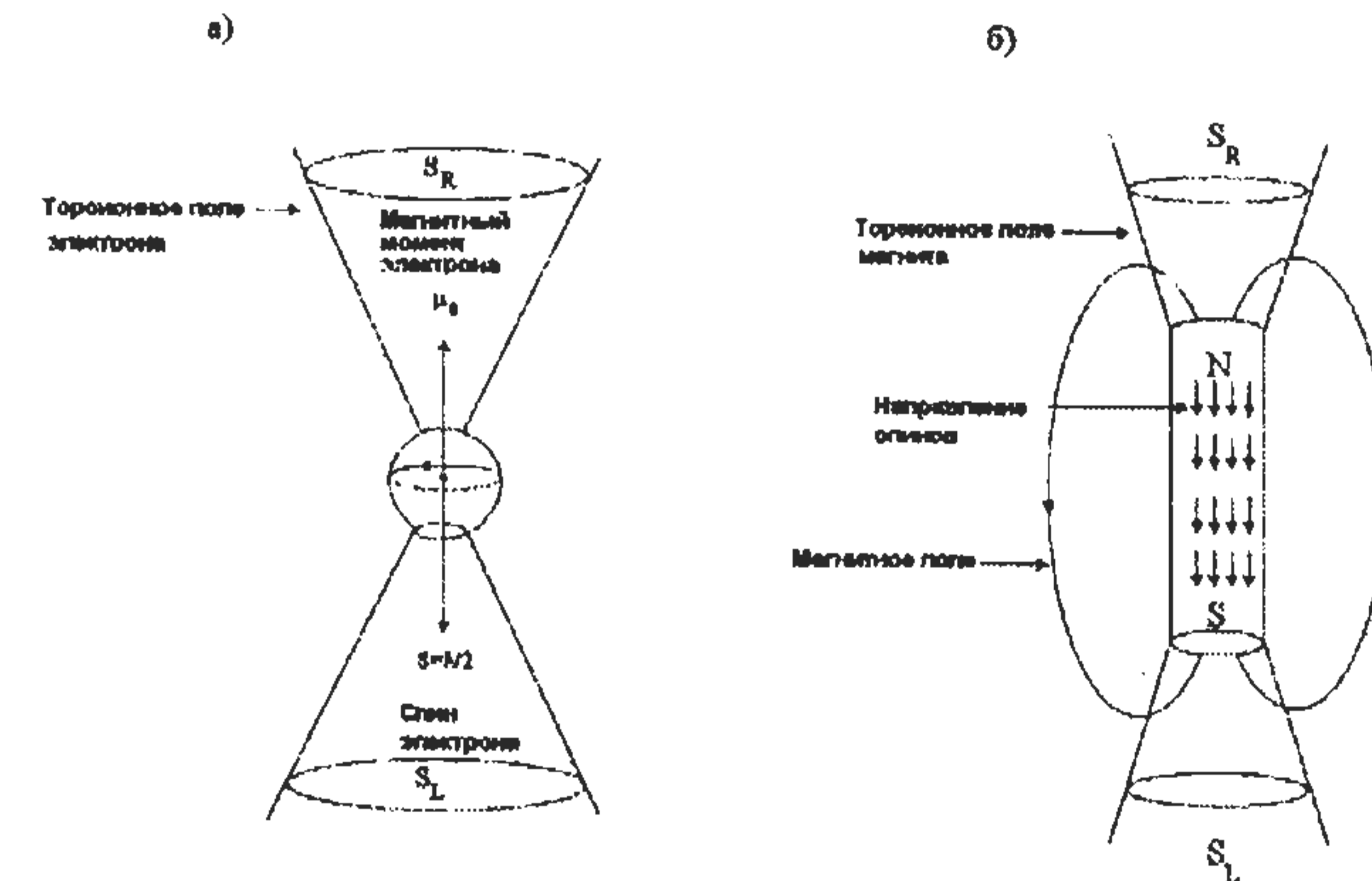


Рис. 40. Торсионные поля, создаваемые: а) отдельным электроном; б) постоянным магнитом.

Связь между магнитным моментом ферромагнетика и его механическим моментом была обнаружена американским физиком С. Барнеттом в 1909 г. Рассуждения С. Барнетта были очень простые. Электрон заряжен, следовательно, его собственное механическое вращение создает круговой ток. Этот ток порождает магнитное поле, образующее магнитный момент электрона (см. рис. 40 а). Изменение механического вращения электрона должно приводить к изменению его магнитного момента. Если взять не намагниченный ферромагнетик, то в нем спины электронов ориентированы в пространстве хаотически. Механическое вращение куска

ферромагнетика приводит к тому, что спины начинают ориентироваться вдоль направления оси вращения. В результате такой ориентации магнитные моменты отдельных электронов суммируются, и ферромагнетик становится магнитом.

Опыты Барнетта по механическому вращению ферромагнитных стержней подтвердили правильность высказанных выше рассуждений и показали, что в результате вращения ферромагнетика у него возникает магнитное поле.

Можно провести обратный опыт, а именно, изменить суммарный магнитный момент электронов в ферромагнетике, в результате чего ферромагнетик начнет механически вращаться. Этот опыт успешно был проведен А. Эйнштейном и де Гаазом в 1915 г.

Поскольку механическое вращение электрона порождает его торсионное поле, то любой магнит представляет собой источник статического торсионного поля (см. рис. 40 б). Проверить это утверждение можно, действуя магнитом на воду. Вода является диэлектриком, поэтому магнитное поле магнита воздействия на нее не оказывает. Другое дело торсионное поле. Если направить северный полюс магнита на стакан с водой так, чтобы на нее действовало правое торсионное поле, то через некоторое время вода получает «торсионный заряд» и становится правой. Если поливать такой водой растения, то их рост ускоряется. Было также обнаружено (и даже был получен патент), что семена, обработанные перед посевом правым торсионным полем магнита, увеличивают свою всхожесть. Обратный эффект вызывает действие левого торсионного поля. Всхожесть семян после его воздействия уменьшается по сравнению с контрольной группой. Дальнейшие эксперименты показали, что *правые статические торсионные поля оказывают благоприятное действие на биологические объекты, а левые поля действуют угнетающе.*

В 1984-85 гг. в России были выполнены эксперименты, в которых изучалось воздействие излучение торсионного генератора на стебли и корни различных растений: хлопчатника, люпина, пшеницы, перца и т. д.

В экспериментах торсионный генератор устанавливался на расстоянии 5 метров от растения. Диаграмма направленности излучения захватывала одновременно стебли и корни растения. На рис. 41 представлены результаты экспериментов по измерению *относительной дисперсной проводимости* (ОДП) тканей растения – стебля и корня хлопчатника в диапазоне частот генератора от 1 до 512 кГц. Результаты экспериментов показали, что под

воздействием торсионного излучения изменяется проводимость тканей растения, причем у стебля и корня различным образом. Во всех случаях воздействие на растение производилось правым торсионным полем.

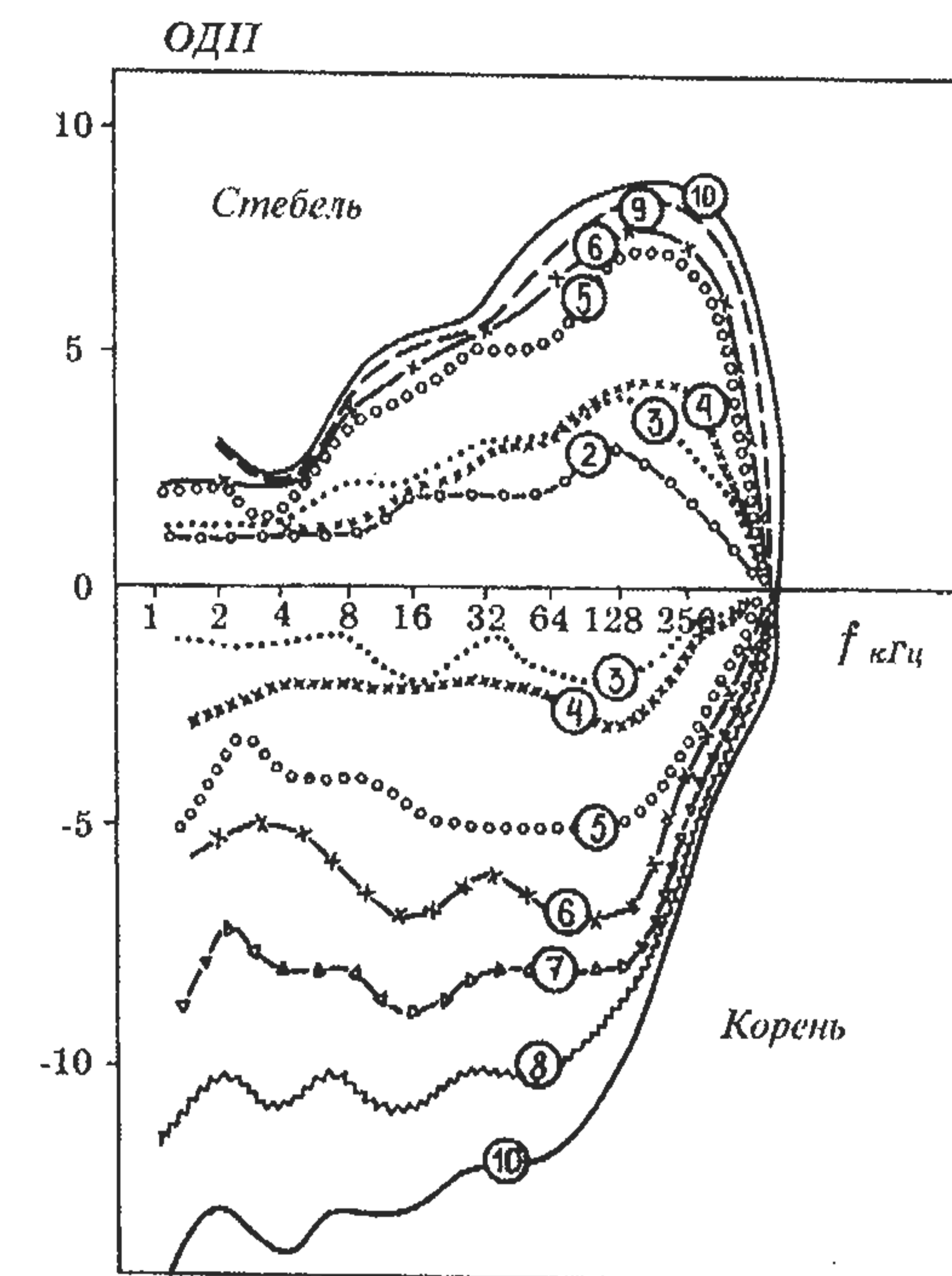


Рис. 41. Результаты измерения ОДП хлопчатника в диапазоне частот 1-512 кГц. Временной интервал между кривыми 2 мин. Нулевое значение ОДП соответствует отсутствию воздействия торсионного излучения.

ПРОЯВЛЕНИЕ ТОРСИОННЫХ ВЗАИМОДЕЙСТВИЙ В МЕХАНИКЕ

В разделе «Относительность сил и полей инерции» было показано, что торсионные поля в механике проявляют себя через силы инерции. До сих пор силы инерции оставались загадкой для физиков, начиная с ньютоновских времен. Дело в том, что в отличие от всех других сил, наблюдаемых в механике, силы инерции:

а) не удовлетворяют третьему закону механики Ньютона (закону действия и противодействия), поскольку неизвестно со стороны каких тел они приложены;

щих людей начинают вытягиваться вверх (*фотография 3*), а скамейка изменяет свои масштабы, хотя фотокамера не меняла своего местоположения. На *фотографиях 4, 5 и 6* мы наблюдаем, постепенное увеличение вытянутости аур вверх и слияние аур отдельных людей в единую коллективную ауру, центр которой определяет аура Шри Матаджи.

Чтобы лично убедиться в объективности этого явления, я попросил одного из российских Сахаджа йогов сфотографировать меня на фоне медитирующего зала (*см. фото X*). Это происходило 27 декабря 1998 года в Индии во время проведения Пуджи, посвященной католическому Рождеству. На фотографии за моей спиной находится зал, в котором одновременно медитирует примерно 5000 человек во главе со Шри Матаджи. На фотографии четко видно, что огни фонарей и лампочек над медитирующим залом как будто вибрируют. Именно так происходит оптическое воздействие объединенных аур большого количества медитирующих людей.

В настоящее время во многих странах мира были получены фотографии, на которых проявляется аура молящихся или медитирующих людей. В Международном институте теоретической и прикладной физики РАЕН, возглавляемом академиком РАЕН Акимовым А.Е., существует более двухсот фотографий подобных тем, что изображены на *фото XII*.

При анализе условий, при которых были получены фотографии с изображением ауры, было замечено, что у сильных экстрасенсов аура проявляется на фотографии без каких-либо дополнительных воздействий на фотопленку. У простых людей аура фиксируется фотокамерой при условии, что на пленку во время съемки дается воздействие аурой экстрасенса. Более того, происходит фиксация невидимых простым глазом торсионных полей, создаваемых, например, работающим электродвигателем.

ТЕХНИЧЕСКИЕ СРЕДСТВА ОБНАРУЖЕНИЯ АУРЫ

Несколько лет назад в России были созданы и запатентованы приборы, подтверждающие теоретические предсказания теории вакуума относительно существования в электродинамике торсионного излучения, порожденного спином электрона. Эти приборы были названы торсионными генераторами.

На *фото VII* представлены два торсионных генератора: слева – личный генератор Акимова, который используется, например, для торсионной обработки воды, справа генератор, используемый в различных экс-

периментах. Это простейшие генераторы, которые были разработаны на начальных этапах исследования торсионных полей.

Позже, по мере развития торсионных экспериментов (и даже технологий), были созданы более совершенные торсионные генераторы. На *фото VIII* слева представлен многофункциональный генератор Акимова, используемый для получения материалов с новыми физическими свойствами, а справа генератор Смирнова, предназначенный для исследования воздействия торсионного излучения на биологические системы.

Чтобы быть уверенным в том, что торсионные генераторы излучают именно торсионные поля, в России были созданы приемники торсионного излучения. На *фото VI* представлена система передачи и приема торсионного сигнала. На этом рисунке торсионный генератор Акимова создает торсионное поле, которое излучается конусообразной антенной. Напротив конуса расположено приемное устройство Смирнова, регистрирующее торсионный сигнал и преобразующее его в сигнал электрический.

После соответствующей обработки принятый торсионный сигнал может быть представлен на экране компьютера в виде частотно-амплитудного спектра (*см. фото XV*).

Приборное исследование торсионных полей показали, что торсионной аурой обладают все тела: минералы, растения, животные и, конечно, человек. На *фото XVI*, показан процесс измерения частотно-амплитудной торсионной ауры человека. Испытуемый воздействует своим торсионным полем на датчик, расположенный на столе. Торсионный сигнал в датчике поступает в специальную электронную систему и, после обработки, появляется на экран компьютера.

ЭФФЕКТ КИРЛИАНА И ВЛИЯНИЕ МОЛИТВЫ НА АУРУ

Одним из методов наблюдения ауры является эффект Кирлиана – своеобразное свечение, возникающее вблизи поверхности тела человека. Невидимое для обычного глаза, это свечение фиксируется специальной аппаратурой. В настоящее время во всем мире существует большое количество различного рода устройств, которые используют эффект Кирлиана для исследования ауры человека. Одним из таких приборов является кирлианфотокамера, представляющая собой непрозрачный для света рукав, в который помещена фотокамера. В рукав вставляется рука человека

Приложение



Фото V. Торсионный движитель Полякова (слева).

Фото VI. Торсионный приемо-передающий канал на стенде (справа).



Фото VII. Торсионные генераторы Акимова.



Фото VIII. Торсионные генераторы: слева Акимова, справа Смирнова.